

東京瓦斯(株)

丸山隆司

(株) 大林組 正員

○山下博文

(株) 大林組

小川栄平

1. まえがき

この報文では、LNG地下式タンクにおけるタンク周辺地盤の凍結現象によって生ずる凍結土圧の解析手法に関する考察を試算例をもとに報告するものである。凍土圧の解析についてはその基本指針¹⁾で示されている。ここではそれを基本としたがら更に凍結による吸水現象を解析に考慮したものである。

2. 解析手法の基本構成

凍土の解析は大きく3つの手法に分けてとらえることができる。
①凍結面の経時変化を求める潜熱を考慮した非定常熱伝導解析、
②凍結要素の吸水量を求める非定常浸透流解析、
③吸水量から定まる膨張率を初期ひずみとする非線形応力解析。このうち浸透流解析と応力解析では、連續した現象をステップ解析することによって適合させている。解析フローを図-1に示す。

(1) 地盤凍結膨張率

地盤凍結膨張に関しては、基本的に高志等²⁾が提案する式を適用した。

$$\dot{\epsilon}_s = (1 + \gamma) \dot{\epsilon}_w + \dot{\epsilon}_o + nf \quad (1)$$

$$\dot{\epsilon}_w = \frac{W}{V_0} \quad (2)$$

$$W = \int_{t=0}^{t=t_1} \frac{dW}{dt} \cdot dt = \frac{1}{U} \int_{t=0}^{t=t_1} \frac{dW}{dt} \cdot dt \quad (3)$$

ここに、
 $\dot{\epsilon}_s$ ；凍結膨張率、
 γ ；土中の水の冰結膨張率 = 0.09、
 $\dot{\epsilon}_w$ ；吸水率、
 $\dot{\epsilon}_o$ ；実験定数、
 nf ；自由水容積含水率、
 W ；吸水容積、
 V_0 ；凍結要素体積、
 U ；凍結速度、である。本解析では、非定常浸透流解析における凍結前線の吸水境界条件に以下の式を適用した。

$$\dot{\epsilon}_w = \frac{1}{1 + \gamma} \cdot \frac{\gamma_o}{\gamma} \left(1 + \sqrt{\frac{\gamma_o}{U}} \right) - nf \cdot \frac{\gamma}{1 + \gamma} \quad (4)$$

ここに、
 γ_o ；拘束圧、
 γ_o, U_o ；実験定数である。

(2) 地盤定数の非線形性

未凍土については、DUNCAN・CHANが提案した三軸応力状態における応力-ひずみ曲線が示す変形係数の非線形性を適用した。凍土の変形係数については、温度依存特性が卓越するものと判断し次式で表わした。

$$E_\theta = a + b(\theta + 2) \quad (-2^\circ C \leq \theta \leq -40^\circ C) \quad (5)$$

ここに、
 E_θ ；凍土の変形係数、
 θ ；温度、
 a, b ；土固有の定数である。

(3) 非定常浸透流解析

一般的の解析と同じであり、基礎方程式は(6)式となる。

$$\frac{\partial P}{\partial t} = C_v x \frac{\partial^2 P}{\partial x^2} - C_v z \frac{\partial^2 P}{\partial z^2} \quad (6)$$

ここに、
 P ；間隙水圧、
 C_v ；圧密係数 = $K/f_w \cdot m_v$ 、
 K ；透水係数、
 m_v ；体積圧縮係数である。解析においての境界条件は、①全領域の初期間隙水圧はゼロである。②凍結前線における排水力は(4)式となる。負の間隙水圧には有効応力の増加を考え拘束圧に加える。③軸体の透水係数はゼロとする。

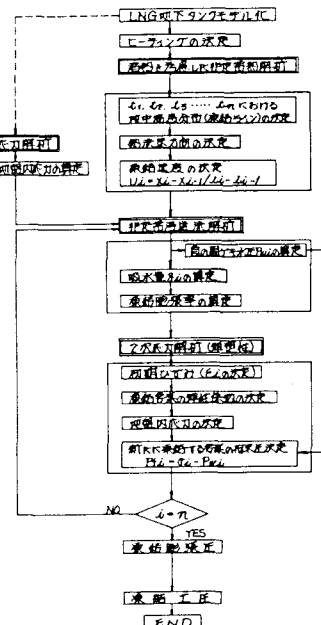


図-1 解析フロー

3. モデルタンクの凍結土圧解析

モデルタンクは、凍土の厚さを1mとしたもので解析用モデル図を図-2に示す。地盤定数の一覧表を表-1に示す。凍土の弾性係数は、粘性土と砂質土に準縦に分類し図-3に示す値を採用した。

(1) 凍結膨張率

膨脹量の経時変化を図-4に示す。負の間隙水圧の経時変化を図-5に示す。凍結膨張率の算定においては、負の間隙水圧を有効応力の増加と考えた。そのため拘束圧が増加し、凍結膨張率は負の間隙水圧を考慮しない場合より小さい。

表-1 凍結定数及び未凍土の地盤定数一覧表

土壤	S_0	E_0 (MPa)	U_0	$G_0 \cdot E_0$	M_f	S (mm)	C (mm)	ϕ	K (N/mm)	D	N
①	0.001	0.001	0	0	0.30	1800	0.3	30	150	0.8	0.8
②	0.002	0.002	300	0.035	0.25	1800	0.3	30	150	0.8	0.8
③	0.001	0.004	150	0.049	0.15	1800	0.5	37	180	0.6	0.8
④	0.005	0.003	40	0.190	0.40	1700	15	15	150	0.6	0.95
⑤	0.006	0.006	5	0.134	0.15	1700	18	15	200	0.5	0.95
⑥	0.0005	0.002	700	0.053	0.25	1800	0.5	35	180	0.5	0.8
⑦	0.004	0.025	30	0.137	0.30	1800	17	12	250	0.6	0.95

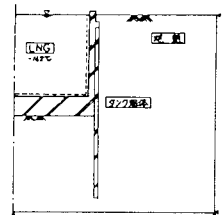


図-2 解析モデル図

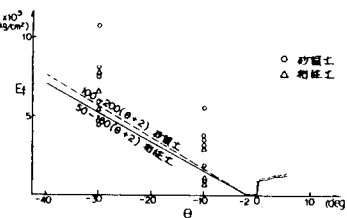


図-3 凍土の弾性係数

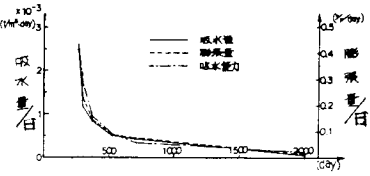


図-4 吸水量と膨張量の経時変化

(2) 構造物-地盤連成応力解析
解析においては構造物の挙動が拘束圧を通じて凍結土圧へ影響を及ぼすため、構造物と地盤との連成モデルとして、応力解析の結果を図-6、7、8に示す。ここで地盤に接する凍土要素の応力を凍結土圧とし、凍土領域の外周に接する地盤の応力を凍結膨張圧とする。凍結土圧(図-7の実線)はFEMによるステップ解析に起因すると思われる誤差が影響してか、その値が変動しているが、凍結膨張圧は、凍土外周面に作用する外圧と考えて応力解析した結果得られる凍結土圧(図-7の点線)は、ある滑りひずみを示した。設計上は後者を凍結土圧と扱うべきであろう。また解析では土層毎の膨張率に差異があること、連続体モデルよりも関連して部分的に引張の凍結土圧が生じた。

4. まとめ

本解析は、地盤凍結の吸水現象に非定常浸透流解析を適用し凍土の吸水量と経時歴的変形によって凍結膨張率を決定し、さらに負の間隙水圧を拘束圧に加味して、図-6 变位図のである。この考え方によれば、浸透流を考慮しない場合よりも、(凍結膨張率)が減少する。

今後は凍結土圧を正確に把握するために、クリープヒート脱水圧密現象を加味して長期地盤変形に応力解析手法の開発と実機タンクの実測値による検証を行いたい。

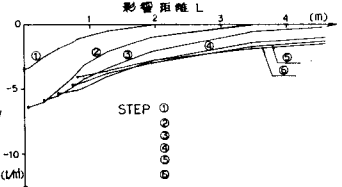
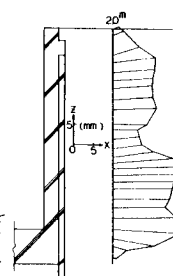
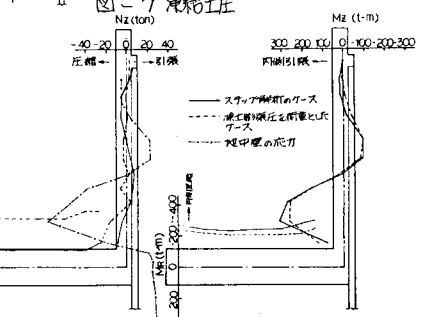
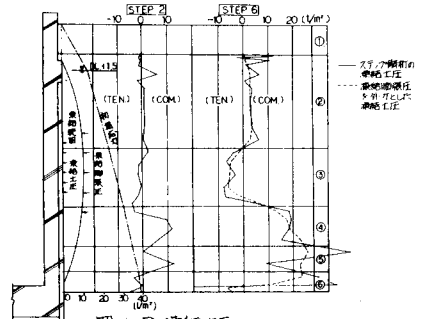


図-5 負の間隙水圧の経時変化



参考文献 1) 日本瓦斯協会; LNG地下式貯蔵槽設計、昭和54年3月 2) 高志, 他; 潜土に及ぼす未凍結土内の動的抵抗の影響、雪氷 36巻1号 3) 高志, 他; 凍結中の間隙水圧測定による凍土力の推定 第15回土質工学研究発表会